

**МЕХАНИКА  
ТВЕРДОГО ТЕЛА  
№ 3 • 1986**

УДК 531.383

**ДВИЖЕНИЕ ТВЕРДОГО ТЕЛА С ГИРОСКОПОМ  
И ПОДВИЖНОЙ МАССОЙ**

ПЕНДЮХОВА Н. В., СОБОЛЕВ В. А., СТРЫГИН В. В.

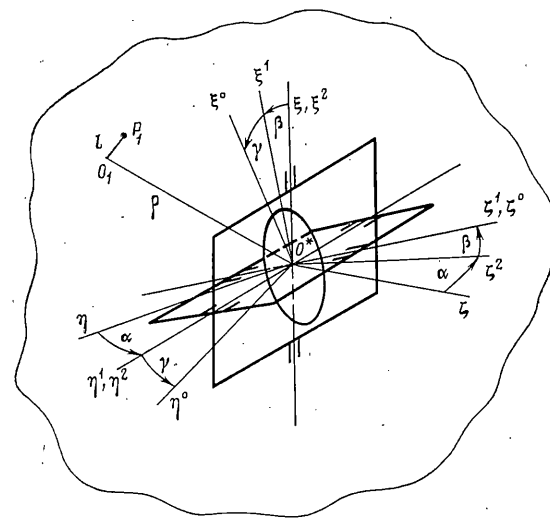
Задача о движении твердых тел, несущих гироскопические устройства и подвижные массы, исследовалась в [1–7]. В публикуемой работе развиваются результаты работ [4–6].

Изучается динамика свободного твердого тела, несущего гироскоп в кардановом подвесе и подвижную частицу, соединенную с некоторой внутренней точкой тела упругой связью, при наличии вязкого трения. Методом интегральных многообразий исследуется устойчивость ряда стационарных движений системы, частные случаи движения твердого тела с гироскопом и твердого тела с одной подвижной массой.

1. Рассмотрим движение свободного твердого тела  $D$  массы  $m$ , несущего гироскоп в кардановом подвесе массы  $m_2$ , и связанную с телом упругой связью частицу  $P_1$  массы  $m_1$ . Через  $\sigma$  и  $\lambda$  обозначим жесткость связи и коэффициент вязкого трения. Пусть  $O_1$  — некоторая точка тела, представляющая собой среднее (номинальное) положение частицы  $P_1$ . Обозначим через  $D^*$  систему, состоящую из тела  $D$ , гироскопа и частицы  $P_1$ , находящейся в номинальном положении. Пусть  $O^*$  — ее центр инерции. Будем считать, что центр карданова подвеса совпадает с точкой  $O^*$  и центром масс ротора. Положение точки  $O_1$  определяется вектором  $\rho = O^*O_1$ , а частицы  $P_1$  — смещением  $l = O_1P_1$ . Обозначим через  $\omega$  абсолютную угловую скорость тела  $D$ . Введем следующие правые ортогональные системы координат (фиг. 1):  $O^*, \xi^*, \eta^*, \zeta^*$  — инерциальная система координат,  $O^*, \xi, \eta, \zeta$  — система координат, жестко связанная с телом  $D$ , оси которой совпадают с главными центральными осями инерции системы  $D^*$ ;  $O^*, \xi^2, \eta^2, \zeta^2$ ;  $O^*, \xi^1, \eta^1, \zeta^1$ ;  $O^*, \xi^0, \eta^0, \zeta^0$  — системы координат, связанные, соответственно, с внешним и внутренним кольцами и ротором гироскопа, оси которых являются главными центральными осями инерции этих тел. Поворот внешнего кольца относительно системы  $O^*, \xi, \eta, \zeta$  определяется углом  $\alpha$  между осями  $\eta^2$  и  $\eta$ , поворот внутреннего кольца относительно внешнего — углом  $\beta$  между осями  $\zeta^1$  и  $\zeta^2$ , поворот ротора относительно внутреннего кольца — углом  $\gamma$  между осями  $\xi^0$  и  $\xi^1$ . Будем предполагать, что ротор гироскопа является динамически симметричным относительно оси  $\zeta^0$ .

Обозначим через  $A_2, B_2, C_2; A_1, B_1, C_1; A_0 = B_0, C_0$  осевые моменты, соответственно, внешнего и внутреннего колец и ротора гироскопа в системах координат, связанных с этими телами, а через  $A, B, C$  — осевые моменты системы  $D^*$  в системе координат  $O^*, \xi, \eta, \zeta$ . Будем предполагать, что момент сопротивления вращению ротора уравновешивается врачающим моментом двигателя.

Уравнения движения описанной механической системы можно получить следуя работам [1, 2, 4]. Введем безразмерные переменные  $\tau = t\Omega$ ,  $y = \omega/\Omega$ ,  $z = l/|\rho|$ ,  $e = \rho/|\rho|$ ,  $x = |\alpha|$ ,  $\beta||^T$  ( $\Omega$  — некоторое характерное значение величины  $|\omega|$ ). Векторы  $y, z, e$  в проекциях на оси системы  $O^*, \xi, \eta, \zeta$  имеют координаты  $p, q, r; z_1, z_2, z_3; e_1, e_2, e_3$ . В качестве малых параметров задачи рассмотрим  $\varepsilon = \Omega A_g/H_g$ ,  $\mu = A_g/A^*$ ,  $\delta = m_1|\rho|^2/A^*$ . Здесь  $A_g$  — величина порядка осевых моментов колец карданова подвеса и ротора гироскопа ( $A_g \sim A_1$ ),  $A^*$  — величина порядка осевых моментов системы  $D^*$  ( $A^* \sim$



$\sim B$ ). Первый интеграл системы, означающий постоянство собственного момента гироскопа, имеет вид

$$H_g = C_0(\gamma' + (\alpha' + p)S_\beta - qS_\alpha S_\beta + rC_\alpha C_\beta) = \text{const}$$

$$C_\alpha = \cos \alpha, S_\alpha = \sin \alpha, C_\beta = \cos \beta, S_\beta = \sin \beta$$

(штрих означает дифференцирование по безразмерному времени  $\tau$ ). Заметим, что  $m_1 = \kappa dM$ ,  $M = m + m_1 + m_2$ ,  $\kappa$  — некоторое число порядка  $O(1)$ .

Обозначим через  $n_2$  и  $n_1$  коэффициенты вязкого трения на осах внешнего и внутреннего кардановых колец. Пусть  $v = \mu/\varepsilon$ ,  $N_2 = n_2/(\Omega A_g)$ ,  $N_1 = n_1/(\Omega A_g)$ ,  $\Lambda_1 = \delta\Lambda$ ,  $\Lambda_1 = \lambda|\rho|^2/(\Omega A^*)$ ,  $\Sigma = \sigma|\rho|^2/(A^*\Omega^2)$ .

В дальнейшем будем считать [4], что  $\Sigma \gg \delta\Lambda \gg \delta$ ,  $\Sigma = O(1)$ .

Используя введенные обозначения, запишем уравнения движения исследуемой механической системы в следующем виде:

$$(S_0 + \mu S_1)y' + \mu T x'' + v(Uy + Vx') + g(y) + \mu g_1(x, x', y) + \delta g_2(y, y', z, z', z'') = 0$$

$$\varepsilon F x'' + (\varepsilon W + G)x' + \varepsilon Q y' + R y + \varepsilon f(x, x', y) = 0$$

$$\delta(1 - \kappa\delta)z'' + \delta\Lambda z' + \Sigma z = -\delta[\varphi_1(y, y') +$$

$$+ (1 - \kappa\delta)(\varphi_2(y, y', z) + \varphi_3(y, z'))] \quad (1.1)$$

$$S_0 = \begin{vmatrix} A & 0 & 0 \\ 0 & B & 0 \\ 0 & 0 & C \end{vmatrix}, \quad U = \begin{vmatrix} 0 & C_\alpha C_\beta & S_\alpha C_\beta \\ -C_\alpha C_\beta & 0 & S_\beta \\ -S_\alpha C_\beta & -S_\beta & 0 \end{vmatrix}$$

$$S_1 = \begin{vmatrix} a & a_1 S_\alpha S_\beta C_\beta & -a_1 C_\alpha C_\beta S_\beta \\ a_1 S_\alpha S_\beta C_\beta & b_1 C_\alpha^2 + c S_\alpha^2 & (b_1 - c) C_\alpha S_\alpha \\ -a_1 C_\alpha S_\beta C_\beta & (b_1 - c) S_\alpha C_\alpha & b_1 S_\alpha^2 + c C_\alpha^2 \end{vmatrix}$$

$$V = \begin{vmatrix} 0 & C_\beta \\ -C_\alpha C_\beta & S_\alpha S_\beta \\ -S_\alpha C_\beta & -C_\alpha S_\beta \end{vmatrix}, \quad T = \begin{vmatrix} a & 0 \\ a_1 S_\alpha S_\beta C_\beta & b C_\alpha \\ -a_1 C_\alpha S_\beta C_\beta & b S_\alpha \end{vmatrix}$$

$$g_1(x, x', y) = g_1^1(x, y) + g_1^2(x, x', y) + g_1^3(x, x')$$

$$g_1^1 = \begin{vmatrix} -a_1 v_1 p S_\beta C_\beta + (b_1 - c) u_1 v_1 \\ a_1 (p^2 C_\alpha + u_1 r) C_\beta S_\beta - p [(b_1 - c) v_1 S_\alpha + (c - a) r] \\ a_1 (p^2 S_\alpha - u_1 q) C_\beta S_\beta + p [(b_1 - c) v_1 C_\alpha + (c - a) q] \end{vmatrix}$$

$$g_1^2 = \begin{vmatrix} [-a_1 p S_{2\beta} + (a_1 C_{2\beta} + b) u_1] \beta' \\ [ar + a_1 p C_\alpha S_{2\beta} - (b_1 - c) u_2] \alpha' + \\ + [(a_1 C_{2\beta} - b) p S_\alpha + a_1 u_1 S_{2\beta} S_\alpha] \beta' \\ [-aq + a_1 p S_\alpha S_{2\beta} + (b_1 - c) v_2] \alpha' + \\ + [-(a_1 C_{2\beta} - b) p C_\alpha - a_1 u_1 S_{2\beta} C_\alpha] \beta' \end{vmatrix}$$

$$g_1^3 = \begin{vmatrix} -a_1 S_{2\beta} \alpha' \beta' \\ a_1 C_\alpha S_\beta C_\beta (\alpha')^2 + (a_1 C_{2\beta} - b) S_\alpha \beta' \alpha' \\ a_1 S_\alpha S_\beta C_\beta (\alpha')^2 - (a_1 C_{2\beta} - b) C_\alpha \beta' \alpha' \end{vmatrix}$$

$$g(y) = \|(C-B)qr, (A-C)pr, (B-A)pq\|^T$$

$$g_2(y, y', z, z', z'') = (e + (1-\kappa\delta)z) \times (y' \times z + y \times z' + z'') + \\ + (1-\kappa\delta)(z' \times y \times z + y \times z \times y' \times z + y' \times z \times z') + z' \times y \times e + \\ + z \times y' \times e + y \times e \times y \times z + y \times e \times z' + y \times z \times y \times e$$

$$F = \begin{vmatrix} a & 0 \\ 0 & b \end{vmatrix}, \quad W = \begin{vmatrix} N_2 & 0 \\ 0 & N_1 \end{vmatrix}, \quad G = \begin{vmatrix} 0 & C_\beta \\ -C_\beta & 0 \end{vmatrix}$$

$$Q = \begin{vmatrix} a & a_1 S_\alpha S_\beta C_\beta & -a_1 C_\alpha S_\beta C_\beta \\ 0 & b C_\alpha & b S_\alpha \end{vmatrix}, \quad R = -V^T$$

$$f(x, x', y) = f^1(x, x', y) + f^2(x, y) + f^3(x, x')$$

$$f^1 = \begin{vmatrix} [(a_1 C_{2\beta} + b) u_1 - a_1 p S_{2\beta}] \beta' \\ -[(a_1 C_{2\beta} + b) u_1 - a_1 p S_{2\beta}] \alpha' \end{vmatrix}$$

$$f^2 = \begin{vmatrix} -(c - b_1) u_1 v_1 - a_1 p v_1 C_\beta S_\beta \\ a_1 [p^2 S_\beta C_\beta - u_1^2 S_\beta C_\beta - u_1 p C_{2\beta}] \end{vmatrix}, \quad f^3 = \begin{vmatrix} -a_1 S_{2\beta} \alpha' \beta' \\ a_1 S_\beta C_\beta (\alpha')^2 \end{vmatrix}$$

$$\varphi_1(y, y') = y \times y' \times e + y' \times e, \quad \varphi_2(y, y', z) = y \times y \times z + y' \times z$$

$$\varphi_3(y, z') = 2y \times z', \quad a = A_2 + C_1 + a_1 C_\beta^2, \quad a_1 = A_0 + A_1 - C_1$$

$$b = A_0 + B_1, \quad b_1 = b + B_2, \quad c = a_1 S_\beta^2 + C_1 + C_2$$

$$C_\beta^2 = \cos^2 \beta, \quad S_\beta^2 = \sin^2 \beta, \quad C_\alpha^2 = \cos^2 \alpha, \quad S_\alpha^2 = \sin^2 \alpha$$

$$C_{2\beta} = \cos 2\beta, \quad S_{2\beta} = \sin 2\beta, \quad u_1 = q S_\alpha - r C_\alpha, \quad v_1 = q C_\alpha + r S_\alpha$$

$$u_2 = q S_{2\alpha} - r C_{2\alpha}, \quad v_2 = q C_{2\alpha} + r S_{2\alpha}. \quad C_{2\alpha} = \cos 2\alpha, \quad S_{2\alpha} = \sin 2\alpha$$

Система (1.1) содержит малые параметры при части производных, т.е. является сингулярно возмущенной. Для анализа этой системы удобно воспользоваться методом интегральных многообразий Боголюбова — Митропольского [8—10].

2. Рассматриваемая механическая система имеет несколько однопараметрических семейств стационарных движений. С помощью метода интегральных многообразий сравнительно просто исследуются следующие случаи:

$$q = q_0 = \text{const}, \quad p = r = 0, \quad \alpha = \pi/2, \quad \beta = 0, \quad z = z^0 \quad (2.1)$$

$$q = q_0 = \text{const}, \quad p = r = 0, \quad \alpha = -\pi/2, \quad \beta = 0, \quad z = z^0 \quad (2.2)$$

$$z^0 = \Sigma_0^{-1} q_0^2 \|e_1, 0, e_3\|^T, \quad \Sigma_0 = \Sigma - \delta(1-\kappa\delta) q_0^2$$

если точка  $O_1$  лежит в плоскости  $\xi O^* \zeta$ , и  $z^0 = 0$ , если  $O_1$  лежит на оси  $\eta$ :

$$r = r_0 = \text{const}, \quad p = q = 0, \quad \alpha = 0, \quad \beta = 0, \quad z = z^0 \quad (2.3)$$

$$r = r_0 = \text{const}, \quad p = q = 0, \quad \alpha = \pi, \quad \beta = 0, \quad z = z^0 \quad (2.4)$$

$$z^0 = \Sigma_1^{-1} r_0^2 \|e_1, e_2, 0\|^T, \quad \Sigma_1 = \Sigma - \delta(1-\kappa\delta) r_0^2$$

если точка  $O_1$  лежит в плоскости  $\xi O^* \eta$ , и  $z^0 = 0$ , если  $O_1$  лежит на оси  $\zeta$ .

Следуя [10, 11], можно показать, что для системы (1.1), при условии  $\cos \beta \neq 0$ , существует устойчивое пятимерное интегральное многообразие

$\mathbf{x}' = \mathbf{H}^1(\mathbf{x}, \mathbf{y}, \varepsilon, \mu, \delta)$ ,  $\mathbf{z} = \mathbf{h}(\mathbf{x}, \mathbf{y}, \varepsilon, \mu, \delta)$ ,  $\mathbf{z}' = \mathbf{h}^1(\mathbf{x}, \mathbf{y}, \varepsilon, \mu, \delta)$ , которое представимо в виде асимптотического ряда  $\mathbf{H}^1(\mathbf{x}, \mathbf{y}, \varepsilon, \mu, \delta) = \sum \varepsilon^i \mu^j \delta^k \mathbf{H}_{i,j,k}^1(\mathbf{x}, \mathbf{y})$ ,  $\mathbf{h}(\mathbf{x}, \mathbf{y}, \varepsilon, \mu, \delta) = \sum \varepsilon^i \mu^j \delta^k \mathbf{h}_{i,j,k}(\mathbf{x}, \mathbf{y})$ ,  $\mathbf{h}^1(\mathbf{x}, \mathbf{y}, \varepsilon, \mu, \delta) = \sum \varepsilon^i \mu^j \delta^k \mathbf{h}_{i,j,k}^1(\mathbf{x}, \mathbf{y})$ .

Коэффициенты разложений определяются приравниванием коэффициентов при одинаковых степенях малых параметров в формальных тождествах, получающихся из (4.1) заменой  $\mathbf{x}'$  на  $\mathbf{H}^1$ ,  $\mathbf{z}$  на  $\mathbf{h}$ ,  $\mathbf{z}'$  на  $\mathbf{h}^1$ :

$$\begin{aligned} & (\mathbf{S}_0 + \mu \mathbf{S}_1) \mathbf{y}' + \mathbf{g}(\mathbf{y}) + \nu (\mathbf{U} \mathbf{y} + \mathbf{V} \mathbf{H}^1) + \mu \mathbf{g}_1(\mathbf{x}, \mathbf{H}^1, \mathbf{y}) + \\ & + \mu \mathbf{T} (\mathbf{H}_x^1 \mathbf{H}^1 + \mathbf{H}_y^1 \mathbf{y}') + \delta \mathbf{g}_2(\mathbf{y}, \mathbf{y}', \mathbf{h}, \mathbf{h}^1, \mathbf{h}_x^1 \mathbf{H}^1 + \mathbf{h}_y^1 \mathbf{y}') = 0 \\ & \varepsilon \mathbf{F} (\mathbf{H}_x^1 \mathbf{H}^1 + \mathbf{H}_y^1 \mathbf{y}') + (\mathbf{G} + \varepsilon \mathbf{W}) \mathbf{H}^1 + \mathbf{R} \mathbf{y} + \varepsilon \mathbf{Q} \mathbf{y} + \varepsilon \mathbf{f}(\mathbf{x}, \mathbf{H}^1, \mathbf{y}) = 0 \\ & \delta (1 - \varepsilon \delta) (\mathbf{h}_x^1 \mathbf{H}^1 + \mathbf{h}_y^1 \mathbf{y}') + \delta \Lambda \mathbf{h}^1 + \Sigma \mathbf{h} = -\delta [\varphi_1(\mathbf{y}, \mathbf{y}') + \\ & + (1 - \varepsilon \delta) (\varphi_2(\mathbf{y}, \mathbf{y}', \mathbf{h}) + \varphi_3(\mathbf{y}, \mathbf{h}^1))], \mathbf{h}_x \mathbf{H}^1 + \mathbf{h}_y \mathbf{y}' = \mathbf{h}^1 \end{aligned}$$

(нижний индекс  $x$  или  $y$  означает дифференцирование по соответствующей переменной).

Уравнения, описывающие движение по интегральному многообразию, имеют вид

$$\begin{aligned} & \mathbf{S}_0 \mathbf{y}' + \mathbf{g}(\mathbf{y}) - \mu \mathbf{g}^1(\mathbf{x}, \mathbf{y}) + \delta^2 \mathbf{g}^2(\mathbf{y}) + \delta^3 \Lambda \mathbf{g}^3(\mathbf{y}) + \dots = 0 \\ & \mathbf{x}' = \mathbf{H}_0^1(\mathbf{x}, \mathbf{y}) + \varepsilon \mathbf{H}_1^1(\mathbf{x}, \mathbf{y}) + \dots \end{aligned} \quad (2.5)$$

$$\mathbf{g}^1(\mathbf{x}, \mathbf{y}) = \mathbf{g}_1(\mathbf{x}, \mathbf{H}_0^1, \mathbf{y}) + \mathbf{T} (\mathbf{H}_0^1)_x \mathbf{H}_0^1 + \mathbf{V} \mathbf{H}_1^1 + (\mathbf{S}_1 + \mathbf{T}) \Psi(\mathbf{y})$$

$$\mathbf{g}^2(\mathbf{y}) = \Phi(\mathbf{y}, \varphi_1(\mathbf{y}, \Psi(\mathbf{y})), \varphi_4(\mathbf{y})), \mathbf{g}^3(\mathbf{y}) = \Phi(\mathbf{y}, \varphi_4(\mathbf{y}), \varphi_5(\mathbf{y}))$$

$$\begin{aligned} & \Phi(\mathbf{y}, \mathbf{u}(\mathbf{y}), \mathbf{v}(\mathbf{y})) = -\Sigma^{-1} (\mathbf{e} \times \Psi(\mathbf{y}) \times \mathbf{u} + \mathbf{u} \times \Psi(\mathbf{y}) \times \mathbf{e} + \mathbf{y} \times \mathbf{e} \times \mathbf{y} \times \mathbf{u} + \\ & + \mathbf{y} \times \mathbf{u} \times \mathbf{y} \times \mathbf{e}) + \mathbf{e} \times \mathbf{y} \times \mathbf{v} + \mathbf{v} \times \mathbf{y} \times \mathbf{e} + \mathbf{y} \times \mathbf{e} \times \mathbf{v} + \mathbf{e} \times \mathbf{v} \times \Psi(\mathbf{y}) \end{aligned}$$

$$\mathbf{H}_0^1 = \mathbf{H}_{0,0,0}^1 = -\mathbf{G}^{-1} \mathbf{R} \mathbf{y}, \quad \Psi(\mathbf{y}) = -\mathbf{S}_0^{-1} \mathbf{g}(\mathbf{y})$$

$$\mathbf{H}_1^1 = \mathbf{H}_{1,0,0}^1 = -\mathbf{G}^{-1} [\mathbf{F}(\mathbf{H}_0^1)_x \mathbf{H}_0^1 + \mathbf{W} \mathbf{H}_0^1 + \mathbf{f}(\mathbf{x}, \mathbf{H}_0^1, \mathbf{y}) + (\mathbf{F}(\mathbf{H}_0^1)_y + \mathbf{Q}) \Psi(\mathbf{y})]$$

$$\mathbf{h}_1 = \mathbf{h}_{0,0,1} = -\varphi_1(\mathbf{y}, \Psi(\mathbf{y}) / \Sigma), \quad \varphi_4(\mathbf{y}) = \mathbf{h}_{0,0,1}^1 = (\mathbf{h}_1)_y \Psi(\mathbf{y})$$

$$\mathbf{h}_2 = \mathbf{h}_{0,0,2} = -\frac{\Lambda}{\Sigma} \varphi_5(\mathbf{y}), \quad \varphi_5(\mathbf{y}) = \frac{1}{\Lambda} \mathbf{h}_{0,0,2}^1 = \frac{1}{\Lambda} (\mathbf{h}_2)_y \Psi(\mathbf{y})$$

(при вычислении  $\mathbf{h}_{0,0,2}^1$  ограничились членами, содержащими множитель  $\Lambda \gg 1$ ).

Исследуем устойчивость решения  $p=q=0, r=r_0=\text{const}, \alpha=0, \beta=0$  системы (2.5) в случае, когда ось  $\zeta$  является осью динамической симметрии системы  $D^*$ , т. е. когда  $A=B$ . Линеаризуем систему (2.5) на решении  $\mathbf{y}=\mathbf{y}^0=\|0, 0, r_0\|^T, \mathbf{x}=0$ . Вводя новые переменные  $\mathbf{y}_1=\|p, q, r_1\|^T, r_1=r-r_0$ , получим

$$\begin{aligned} & \mathbf{y}_1' = -\mathbf{S}_0^{-1} [\mathbf{g}_y + \mu \mathbf{g}_y^1 + \delta^2 \mathbf{g}_y^2 + \delta^3 \Lambda \mathbf{g}_y^3] |_{\mathbf{y}=\mathbf{y}^0, \mathbf{x}=0} \mathbf{y}_1 + \mu \mathbf{g}_x^1 |_{\mathbf{y}=\mathbf{y}^0, \mathbf{x}=0} \mathbf{x} + \dots \\ & \mathbf{x}' = [(\mathbf{H}_0^1)_y + \varepsilon (\mathbf{H}_1^1)_y] |_{\mathbf{y}=\mathbf{y}^0, \mathbf{x}=0} \mathbf{y}_1 + [(\mathbf{H}_0^1)_x + \varepsilon (\mathbf{H}_1^1)_x] |_{\mathbf{y}=\mathbf{y}^0, \mathbf{x}=0} \mathbf{x} + \dots \end{aligned} \quad (2.6)$$

Положив  $\mathbf{v}=\|p, q\|^T$ , перепишем систему (2.6) в виде

$$\begin{aligned} & \mathbf{v}' = (\Delta_0 + \mu \Delta_1 + \delta^2 \Delta_2 + \delta^3 \Lambda \Delta_3) \mathbf{v} + \mu \mathbf{X}_0 \mathbf{x} + \dots, \quad r_1' = 0 \\ & \mathbf{x}' = (\mathbf{Y}_0 + \varepsilon \mathbf{Y}_1) \mathbf{v} + (\mathbf{Z}_0 + \varepsilon \mathbf{Z}_1) \mathbf{x} + \dots, \quad s = (C-A)/A \end{aligned} \quad (2.7)$$

$$\Delta_0 = sr_0 \begin{vmatrix} 0 & -1 \\ 1 & 0 \end{vmatrix}, \quad \Delta_1 = -\frac{1}{A} \begin{vmatrix} N_2 & 0 \\ B_2 r_0 (s-1) & N_1 \end{vmatrix}$$

$$\mathbf{X}_0 = \frac{r_0}{A} \begin{vmatrix} 0 & N_2 \\ -N_1 & -(A_2 + B_2 - C_2) r_0 \end{vmatrix}$$

$$Y_0 = \begin{vmatrix} -1 & 0 \\ 0 & -1 \end{vmatrix}, \quad Y_1 = \begin{vmatrix} 0 & -N_1 \\ N_2 & (A_2 + B_2 - C_2)r_0 \end{vmatrix}$$

$$Z_0 = \begin{vmatrix} 0 & r_0 \\ -r_0 & 0 \end{vmatrix}, \quad Z_1 = \begin{vmatrix} -N_1r_0 & 0 \\ (A_2 + B_2 - C_2)r_0^2 & -N_2r_0 \end{vmatrix}$$

В случае, когда точка  $O_1$  лежит в плоскости  $\xi O^*\eta$ :

$$\Delta_2 = -\frac{r_0^3}{A\Sigma}(1+s^2)(1-s) \begin{vmatrix} e_1e_2 & e_2^2 \\ -e_1^2 & e_1e_2 \end{vmatrix}$$

$$\Delta_3 = -\frac{r_0^4}{A\Sigma^2}(1-s)^2(1+s)s \begin{vmatrix} e_2^2 & -e_1e_2 \\ e_1e_2 & e_1^2 \end{vmatrix}$$

Если точка  $O_1$  лежит на оси  $\zeta$ , то

$$\Delta_2 = -\frac{r_0^3}{A\Sigma}(1-s)^3 \begin{vmatrix} 0 & -e_3^2 \\ e_3^2 & 0 \end{vmatrix}$$

$$\Delta_3 = -\frac{r_0^4}{A\Sigma^2}(1-s)^2(1+s)s \begin{vmatrix} e_3^2 & 0 \\ 0 & e_3^2 \end{vmatrix}$$

Система (2.7) имеет интегральное многообразие  $x=H(s, \mu, \delta)v$ , для которого справедлив принцип сведения [10, 12], если только  $r_0>0$ . Уравнения, описывающие движение по интегральному многообразию, можно записать в виде

$$v' = (\Delta_0 + \mu\Delta_1 + \mu X_0 H + \delta^2\Delta_2 + \delta^3\Lambda\Delta_3)v + \dots, \quad r_1' = 0 \quad (2.8)$$

Матрицу  $H$  можно вычислить с любой степенью точности в виде ряда по степеням малых параметров  $\varepsilon, \mu, \delta$ . Ограничеваясь вычислением матрицы  $H_0=H(0, 0, 0)$ , можно выписать условие асимптотической устойчивости нулевого решения системы (2.8) по линейным членам. В случае, когда  $e_3=0$ , оно имеет вид

$$\mu(N_1+N_2)\frac{s}{(s+1)} + \delta^3\Lambda\frac{1}{\Sigma^2}(1-s)^2(1+s)s > 0 \quad (2.9)$$

а если  $e_2=e_1=0$ , то

$$\mu(N_1+N_2)\frac{s}{(s+1)} + 2\delta^3\Lambda\frac{1}{\Sigma^2}(1-s)^2(1+s)s > 0 \quad (2.10)$$

Здесь  $s \neq -1$ .

Из принципа сведения для интегральных многообразий систем (1.1) и (2.7) следует, что условия (2.9) или (2.10) и неравенство  $r_0>0$  являются достаточными условиями асимптотической устойчивости решения (2.3) системы (1.1) по переменным  $p, q, x, x', z, z'$ . Аналогично можно получить условия асимптотической устойчивости решения (2.4) системы (1.1), которые будут состоять из неравенства (2.9) или (2.10) и неравенства  $r_0<0$ . Таким же образом исследуется устойчивость решений (2.1) и (2.2).

3. Рассмотрим движение свободного твердого тела, обладающего полной динамической симметрией ( $A=B=C$ ), на котором помещен гироскоп в кардановом подвесе, причем точка подвеса совпадает с центром инерции твердого тела и центром инерции ротора гироскопа. При условии  $\cos\beta \neq 0$  система уравнений, описывающая движение этой механической системы, имеет устойчивое интегральное многообразие  $x'=H^1(x, y, \varepsilon, \mu) = \sum \varepsilon^i \mu^j H_{i,j}^1(x, y)$ .

Уравнения движения по интегральному многообразию имеют вид

$$S_0 y' + \mu \Psi^1(x, y) + \mu \varepsilon \Psi^2(x, y) + \mu^2 \Psi^3(x, y) + \dots = 0 \quad (3.1)$$

$$x' = H_0^1(x, y) + \varepsilon H_{1,0}^1(x, y) + \varepsilon \mu H_{1,1}^1(x, y) + \varepsilon^2 H_{2,0}^1(x, y) + \dots$$

$$\mathbf{H}_0^1 = \mathbf{H}_{0,0}^1 = -\mathbf{G}^{-1}R\mathbf{y} = \|\alpha_0', \beta_0'\|^T, \quad \mathbf{H}_{0,1}^1 = \mathbf{0}, \quad \mathbf{H}_{0,2}^1 = \mathbf{0}$$

$$\mathbf{H}_{1,0}^1 = -\mathbf{G}^{-1}[\mathbf{W}\mathbf{H}_0^1 + \mathbf{f}(\mathbf{x}, \mathbf{H}_0^1, \mathbf{y}) + \mathbf{F}(\mathbf{H}_0^1)_x \mathbf{H}_0^1] = \|\alpha_1', \beta_1'\|^T$$

$$\mathbf{H}_{2,0}^1 = -\mathbf{G}^{-1}[\mathbf{F}(\mathbf{H}_{1,0}^1)_x \mathbf{H}_0^1 + (\mathbf{H}_0^1)_x \mathbf{H}_{1,0}^1 + \mathbf{f}^1(\mathbf{x}, \mathbf{H}_{1,0}^1, \mathbf{y}) + \mathbf{f}^2(\mathbf{x}, \mathbf{H}_0^1, \mathbf{H}_{1,0}^1, \mathbf{y})]$$

$$\begin{aligned} \mathbf{H}_{1,1}^1 &= \mathbf{G}^{-1}[\mathbf{F}(\mathbf{H}_0^1)_y + Q] \mathbf{S}_0^{-1} \Psi^1(\mathbf{x}, \mathbf{y}), \quad \Psi^1(\mathbf{x}, \mathbf{y}) = g_1(\mathbf{x}, \mathbf{H}_0^1, \mathbf{y}) + \\ &\quad + \mathbf{T}(\mathbf{H}_0^1)_x \mathbf{H}_0^1 + \mathbf{V} \mathbf{H}_{1,0}^1 \end{aligned}$$

$$\Psi^2(\mathbf{x}, \mathbf{y}) = \mathbf{V} \mathbf{H}_{2,0}^1 + g_2(\mathbf{x}, \mathbf{H}_{1,0}^1, \mathbf{y}) + g_3(\mathbf{x}, \mathbf{H}_0^1, \mathbf{H}_{1,0}^1) + T[(\mathbf{H}_{1,0}^1)_x \mathbf{H}_0^1 + (\mathbf{H}_0^1)_x \mathbf{H}_{1,0}^1]$$

$$\Psi^3(\mathbf{x}, \mathbf{y}) = -[\mathbf{S}_1 + \mathbf{T}(\mathbf{H}_0^1)_y] \mathbf{S}_0^{-1} \Psi^1(\mathbf{x}, \mathbf{y}) + \mathbf{V} \mathbf{H}_{1,1}^1$$

$$\begin{aligned} \mathbf{f}^4(\mathbf{x}, \mathbf{H}_0^1, \mathbf{H}_{1,0}^1, \mathbf{y}) &= \begin{vmatrix} -a_1(\alpha_0' \beta_1' + \alpha_1' \beta_0') S_{2\beta} \\ a_1 \alpha_0' \alpha_1' S_{2\beta} \end{vmatrix}, \quad g_3(\mathbf{x}, \mathbf{H}_0^1, \mathbf{H}_{1,0}^1) = \\ &= \begin{vmatrix} -a_1(\alpha_0' \beta_1' + \alpha_1' \beta_0') S_{2\beta} \\ a_1 \alpha_0' \alpha_1' C_\alpha S_{2\beta} + (a_1 C_{2\beta} - b)(\alpha_0' \beta_1' + \alpha_1' \beta_0') S_\alpha \\ a_1 \alpha_0' S_\alpha S_{2\beta} - (a_1 C_{2\beta} - b)(\alpha_0' \beta_1' + \alpha_1' \beta_0') C_\alpha \end{vmatrix} \end{aligned}$$

Ограничимся рассмотрением случая  $q^2+r^2 \neq 0$ . Система (3.1) имеет устойчивое интегральное многообразие  $\mathbf{x} = \mathbf{H}(\mathbf{y}, \varepsilon, \mu) = \sum \varepsilon^i \mu^j \mathbf{H}_{i,j}(\mathbf{y})$ , движение по которому описывается уравнением

$$\mathbf{S}_0 \mathbf{y}' = -\mu \Psi^1(\mathbf{H}_0, \mathbf{y}) - \mu \varepsilon \Psi^2(\mathbf{H}_0, \mathbf{y}) - \mu^2 [\Psi^3(\mathbf{H}_0, \mathbf{y}) - (\Psi^1)_x|_{\mathbf{x}=\mathbf{H}_0} \mathbf{H}_{0,1}] + \dots \quad (3.2)$$

$$\mathbf{H}_0 = \mathbf{H}_{0,0} = \|\alpha_0, \beta_0\|^T, \quad \mathbf{H}_0^1(\mathbf{H}_0, \mathbf{y}) = \mathbf{0}, \quad \cos \alpha_0 = r/\chi$$

$$\sin \alpha_0 = -q/\chi, \quad \operatorname{tg} \beta_0 = p/\chi, \quad \chi^2 = q^2 + r^2$$

$$\begin{aligned} \mathbf{H}_{0,1} &= -[(\mathbf{H}_0^1)_x|_{\mathbf{x}=\mathbf{H}_0}]^{-1}(\mathbf{H}_0)_y \mathbf{S}_0^{-1} \Psi^1(\mathbf{H}_0, \mathbf{y}), \quad (\mathbf{H}_0)_y = \\ &= -[(\mathbf{H}_0^1)_x|_{\mathbf{x}=\mathbf{H}_0}]^{-1}[(\mathbf{H}_0^1)_y|_{\mathbf{x}=\mathbf{H}_0}] \end{aligned}$$

Система (3.2) имеет первый интеграл  $p^2 + q^2 + r^2 = |\mathbf{y}|^2 = \text{const}$ , означающий постоянство абсолютной величины угловой скорости твердого тела. Перейдем к сферическим координатам  $p = |\mathbf{y}| \cos \theta$ ,  $q = |\mathbf{y}| \sin \theta \cos \varphi$ ,  $r = |\mathbf{y}| \sin \theta \sin \varphi$ .

Для новых переменных  $\theta$ ,  $\varphi$  получим систему

$$\theta' = -\mu^2 N_2 d \operatorname{ctg} \theta, \quad \varphi' = \mu d [1 + \mu d] |\mathbf{y}| \cos \theta \quad (3.3)$$

$$d = (A_2 - C_2)/A$$

Анализ уравнений (3.3) показывает, что  $\theta(\tau) \rightarrow 0$  при  $d > 0$ ,  $\tau \rightarrow +\infty$ , т. е. мгновенная ось вращения системы  $D^*$ , проходящая через точку  $O^*$ , медленно вращаясь вокруг оси  $\xi$ , стремится занять ее положение. Если же  $d < 0$ , то  $\theta(\tau) \rightarrow \pi/2$  при  $\tau \rightarrow +\infty$ , т. е. мгновенная ось вращения системы  $D^*$ , медленно вращаясь вокруг оси  $\xi$ , неограниченно приближается к плоскости  $\eta O^* \xi$ . Нетрудно заметить, что в первом случае внутреннее кольцо карданова подвеса стремится совпасть с внешним, а во втором — стать почти перпендикулярным ему.

4. Рассмотрим движение свободного твердого тела  $D$  с присоединенной частицей  $P_1$  в случае, когда система  $D^*$  обладает полной динамической симметрией. Пусть  $\mathbf{e} = [1, 0, 0]^T$ . Система уравнений, описывающая движение исследуемой механической системы, имеет устойчивое интегральное многообразие  $\mathbf{z} = \mathbf{h}(\mathbf{y}, \delta) = \sum \delta^i \mathbf{h}_i(\mathbf{y})$ ,  $\mathbf{z}' = \mathbf{h}'(\mathbf{y}, \delta) = \sum \delta^i \mathbf{h}'_i(\mathbf{y})$ .

Движение по интегральному многообразию описывается уравнением

$$A\mathbf{y}' = \delta^2 g_4(\mathbf{y}) + \delta^3 g_6(\mathbf{y}) + \delta^4 g_8(\mathbf{y}) + \delta^5 \Lambda g_7(\mathbf{y}) + \dots \quad (4.1)$$

$$g_4(\mathbf{y}) = g_7(\mathbf{y}, h_1)\Lambda; \quad g_6(\mathbf{y}) = -(y \times e \times y \times h_2 + y \times h_1 \times y \times h_1 + y \times h_2 \times y \times e)$$

$$g_8(\mathbf{y}) = - (e \times g_4 \times h_1 + e \times y \times h_3^{-1} + h_3^{-1} \times y \times e + h_1 \times g_4 \times e + y \times e \times y \times h_3 + y \times h_1 \times y \times h_2 + y \times h_2 \times y \times h_1 - y \times h_1 \times y \times h_1 + y \times e \times h_3^{-1} + y \times h_3 \times y \times e)$$

$$g_7(\mathbf{y}) = - (y \times e \times y \times h_4 + y \times h_4 \times y \times e) / \Lambda$$

$$h_1 = - \frac{1}{\Sigma} y \times y \times e, \quad h_1^{-1} = 0, \quad h_2 = \Sigma^{-2} y \times y \times y \times e, \quad h_2^{-1} = 0$$

$$h_3 = - \Sigma^{-1} [\varphi_1(0, g_4) + \varphi_2(y, 0, h_2) + \varkappa \varphi_2(y, 0, h_1)]$$

$$h_3^{-1} = (h_1)_y g_4, \quad h_4 = - (\Lambda / \Sigma) h_3^{-1}, \quad h_4^{-1} = 0$$

При вычислении  $h_4(\mathbf{y})$  ограничились членами, содержащими множитель  $\Lambda \gg 1$ . Система (4.1) имеет первый интеграл  $p^2 + q^2 + r^2 = |\mathbf{y}|^2 = \text{const}$ . Переходя к сферическим координатам, получим систему

$$\begin{aligned} A\theta' &= \delta^5 \Lambda / \Sigma^3 |\mathbf{y}|^6 \cos^3 \theta \sin \theta \\ A\varphi' &= - (\delta^2 / \Sigma |\mathbf{y}|^3 + \delta^3 / \Sigma^2 |\mathbf{y}|^5 + \delta^4 / \Sigma^3 |\mathbf{y}|^7) \cos \theta - \\ &\quad - \delta^4 / \Sigma^2 [(2 + \varkappa) |\mathbf{y}|^5 \cos \theta + |\mathbf{y}|^5 \cos^3 \theta] \end{aligned} \quad (4.2)$$

Анализ уравнений (4.2) показывает, что  $\theta(\tau) \rightarrow \pi/2$  при  $\tau \rightarrow +\infty$ , т. е. мгновенная ось вращения системы  $D^*$ , вращаясь вокруг оси  $\xi$  с достаточно малой угловой скоростью  $\dot{\varphi}'$ , при  $\tau \rightarrow +\infty$  неограниченно приближается к плоскости  $\eta O^* \xi$ .

#### ЛИТЕРАТУРА

1. Ишлинский А. Ю. Механика гирокопических систем. М.: Изд-во АН СССР, 1963. 482 с.
2. Климов Д. М., Харламов С. А. Динамика гирокопа в кардановом подвесе. М.: Наука, 1978. 208 с.
3. Степаненко Н. П. О гирокопе в кардановом подвесе на свободном основании. – Изв. АН СССР. МТТ, 1970, № 3, с. 155–163.
4. Черноуско Ф. Л. О движении твердого тела с подвижными внутренними массами. – Изв. АН СССР. МТТ, 1973, № 4, с. 33–44.
5. Черноуско Ф. Л. О движении твердого тела с упругими и диссипативными элементами. – ПММ, 1978, т. 42, вып. 1, с. 34–42.
6. Черноуско Ф. Л., Шамаев А. С. Асимптотика сингулярных возмущений в задаче динамики твердого тела с упругими и диссипативными элементами. – Изв. АН СССР. МТТ, 1983, № 3, с. 33–42.
7. Соболев В. А., Стрыйгин В. В. Асимптотические методы в задаче о стабилизации вращающихсяся тел при помощи пассивных демпферов. – Изв. АН СССР. МТТ, 1977, № 5, с. 24–31.
8. Боголюбов Н. Н., Митропольский Ю. А. Асимптотические методы в теории нелинейных колебаний. М.: Физматгиз, 1963. 410 с.
9. Митропольский Ю. А., Лыкова О. Б. Интегральные многообразия в нелинейной механике. М.: Наука, 1973. 512 с.
10. Стрыйгин В. В. Интегральные многообразия в задаче о сингулярном и параметрическом возмущении автоколебательной системы. – В кн.: Дифференциальные уравнения и их применение. Куйбышев: Куйбышевск. политехн. ин-т, 1975, № 2, с. 108–126.
11. Стрыйгин В. В., Соболев В. А. Влияние геометрических и кинетических параметров и диссипации энергии на устойчивость ориентации спутников с двойным вращением. – Космич. исследования, 1976. т. 14, вып. 3, с. 366–371.
12. Плисс В. А. Принцип сведения в теории устойчивости движения. – Изв. АН СССР. Сер. мат., 1964, т. 28, № 6, с. 1276–1324.

Куйбышев

Поступила в редакцию  
9.IV.1984